

过表达DLL3促进人胃癌细胞的增殖

胡冰心¹, 叶健斌¹, 邱晓媚², 林彦青¹, 吴丹琳¹, 温俊杰¹, 罗美群¹, 宁立军¹, 李妍¹, 宁云山¹
¹南方医科大学检验与生物技术学院生物治疗研究所, 广东 广州 510515; ²珠海南医大生物医药公共服务平台有限公司, 广东 珠海 519090

摘要:目的 构建人全长DLL3的真核表达质粒,并分析上调和下调DLL3对人胃癌细胞增殖的影响。方法 采用PCR扩增人全长DLL3基因并克隆至真核表达载体pCMV-Tag4中,通过酶切及测序鉴定后,瞬时转染HEK293T细胞,并以转染pCMV-Tag4质粒和无转染HEK293T细胞分别为阴性对照和空白对照,实时荧光定量PCR(qRT-PCR)和Western blot鉴定人全长DLL3基因的表达;进一步通过qRT-PCR和Western blot检测人DLL3在人正常口腔上皮细胞GES-1和AGS等3株胃癌细胞中的表达差异;当人DLL3/pCMV-Tag4瞬时转染3株胃癌细胞后,利用MTT检测DLL3过表达后胃癌细胞的增殖;同时,特异性人DLL3 siRNA转染人胃癌细胞MGC803和MKN45,利用MTT检测DLL3下调后胃癌细胞的增殖。**结果** 成功构建了人全长DLL3/pCMV-Tag4重组质粒,转染HEK293T细胞24 h后,qRT-PCR和Western blot表明DLL3在mRNA和蛋白水平上的表达显著高于对照组;MTT细胞增殖实验显示:过表达DLL3促进胃癌细胞的增殖,下调DLL3后抑制胃癌细胞的增殖。**结论** 成功构建了人全长DLL3/pCMV-Tag4真核表达质粒并在HEK293T细胞中获得表达,过表达DLL3促进胃癌细胞的增殖,下调DLL3抑制胃癌细胞的增殖,本研究为以DLL3为新靶点对胃癌进行靶向治疗提供新思路。
关键词:人DLL3;真核表达;胃癌细胞;增殖

Over-expression of human Notch ligand Delta-like 3 promotes proliferation of human gastric cancer cells *in vitro*

HU Bingxin¹, YE Jianbin¹, QIU Xiaomei², LIN Yanqing¹, WU Danlin¹, WEN Junjie¹, LUO Meiqun¹, NING Lijun¹, LI Yan¹, NING Yunshan¹
¹Biotherapy Institute, School of Laboratory Medicine and Biotechnology, Southern Medical University, Guangzhou 510515, China; ²Zhuhai SMU Biomedicine Public Service Platform, Zhuhai 519090, China

Abstract: Objective To construct a eukaryotic expression plasmid carrying human full-length Notch ligand Delta-like 3 (DLL3) gene and study the effect of DLL3 knockdown and overexpression on the proliferation of gastric cancer cells *in vitro*. **Methods** Human full-length DLL3 gene was amplified by PCR and cloned into the eukaryotic expression vector pCMV-Tag4. After verification by restriction enzymes and sequencing, the recombinant DLL3/pCMV-Tag4 vector was transiently transfected into HEK293T cells, in which the expressions of human DLL3 mRNA and protein were detected using real-time quantitative PCR and Western blotting, respectively. The expression of DLL3 in normal gastric epithelial cells and gastric cancer cell lines was detected by qRT-PCR and Western blotting. DLL3/pCMV-Tag4 was transfected into 3 gastric cancer cell lines, and their proliferation was assessed with MTT assay. Human gastric cancer cells MGC803 and MKN45 were also transfected with a specific human DLL3-siRNA to assess the effect of DLL3 down-expression on the cell proliferation. **Results** The recombinant eukaryotic expression vector DLL3/pCMV-Tag4 was successfully constructed and human full-length DLL3 was expressed in HEK293T cells. MTT assay showed that DLL3 over-expression obviously promoted the proliferation and down-regulation of DLL3 inhibited the proliferation of the gastric cancer cells. **Conclusion** DLL3 overexpression can promote the proliferation of gastric cancer cells *in vitro*, and down-regulation of DLL3 inhibits the proliferation of gastric cancer cells, which provides a novel strategy for targeted therapy of gastric cancer.
Keywords: human Delta-like ligand 3; eukaryotic expression; gastric cancer cell line; proliferation

Notch信号通路广泛存在于高等生物中,是细胞命运决定和个体发育的关键信号通路之一。人和哺乳动物有4种Notch受体(Notch1-4)和5种配体(Jagged1、Jagged2和DLL1、DLL3、DLL4)^[1]。自2004年首次报道约50%的T细胞急性淋巴细胞白血病患者中发现Notch1基因突变^[2]以来,越来越多研究表明Notch信号通路的异常与多种肿瘤的发生发展密切相关^[3-6]。Notch信号通路已经成为了新的肿瘤诊断和治疗靶点^[7-9]。

胃癌是引起世界范围内癌症相关死亡的第三大原因^[10],已有研究表明:Notch配体的异常表达与胃癌的发

生发展密切相关。例如,Jagged1在弥散型胃癌和低分化型胃癌中显著过度表达,在T期、N期和TNM期的胃癌病人中检测到DLL4高表达^[11];DLL4的过表达增强胃癌干细胞的自我更新能力,并且通过激活Notch1信号通路造成胃癌患者的不良预后^[12],同时,研究发现在瘤内注射Jagged1和DLL4的siRNA可以抑制肿瘤生长^[13]。已有研究发现DLL3在小细胞肺癌^[14],急性髓性白血病^[15]和大细胞神经内分泌瘤^[16]中过表达,人DLL3在肺腺癌患者中的高表达与其总体生存率下降有关^[17]。但是,DLL3在胃癌中的作用及机制尚不明确。最近,我们通过分析TCGA(The Cancer Genome Atlas)数据库中393例人胃癌(GC)病人的DLL3基因突变、拷贝数变异中发现,人DLL3基因在5%的上述样本发生了的基因突变和拷贝数变异,UCSC(University of California, Santa Cruz)数据库的478例胃癌患者的RNAseq数据表明大部分患者的癌组织中DLL3表达量降低,少部分胃癌患者的癌组织中DLL3表达量增加,而Kaplan Meier生存分析表明DLL3高表达患者的生存时间降低,提示人DLL3可能与GC的发生发展密切相关,因此,有必要阐明DLL3介导的Notch信号在胃癌发生发展中的作用及分子机制。

目前未见到有关于人DLL3基因表达的报道,本研究在前期已表达人Notch配体DLL1^[18]、DLL4^[19]和Jagged1^[20]的基础上,旨在构建人全长DLL3真核表达质粒,并在HEK293T细胞中获得人全长DLL3蛋白的表达,进一步转染AGS等3株胃癌细胞,探究过表达DLL3对胃癌细胞增殖的影响,采用特异性siRNA下调胃癌细胞中DLL3的表达,进一步验证DLL3对胃癌细胞增殖的影响。

1 材料和方法

1.1 材料

1.1.1 质粒,菌株,细胞系 人DLL3(NM_016941)cDNA克隆(DLL3/pOTB7)质粒(优宝生物);载体pCMV-Tag4和HEK293T、GES-1、AGS、MGC803和MKN45细胞由本实验室保存;感受态大肠杆菌DH5 α 和JM109(Tiagen)。

1.1.2 试剂 TaKaRa Taq™、DL 5000 DNA marker、pMD™ 18-T Vector Cloning Kit、限制性核酸内切酶Sal I、BamH I、T₄ DNA连接酶、RNAiso Plus、割胶回收试剂盒、质粒提取试剂盒、PrimeScript™ RT reagent Kit with gDNA Eraser逆转录试剂盒(TaKaRa);RT-qPCR试剂盒ChamQ SYBR qPCR Master Mix (Vazyme);Lipofectamine™ 2000 (Invitrogen);人DLL3-siRNA(sc-62206),Control siRNA(sc-37007)(Santa Cruz);小鼠抗人DLL3抗体(R&D Systems);兔抗人GAPDH抗体、小鼠抗人 β -actin抗体(Bioworld);RIPA细胞裂解液、

PMSF、170 000 protein marker、PVDF膜、EZ-ECL发光试剂、HRP标记的羊抗小鼠IgG、HRP标记的羊抗兔IgG等(弗德生物);Bradford蛋白检测试剂盒(碧云天);引物合成、基因测序由广州艾基生物技术有限公司完成。

1.1.3 仪器 PCR仪(Veriti 96 well Thermal Cycler),实时荧光定量PCR仪(ABI 7500)(Applied Biosystem)。

1.1.4 培养基 小牛血清(四季青);DMEM培养基(Gibco)。

1.1.5 引物设计 根据Genbank中人DLL3(NM_016941.3)的基因序列,设计扩增人全长DLL3基因的PCR上下游引物,上游引物:5'-GCCACCATGGTCTCCCCACGGATGT-3';下游引物:5'-TTTCACGGACAGAATCGAGGAAGGGTA-3';设计特异性实时荧光定量PCR(qRT-PCR)引物,以 β -actin为内参检测DLL3在mRNA水平的表达,DLL3上游引物:5'-GACCCTCAGCGTACCTTTT-3';DLL3下游引物:5'-TACATCTCAGGGCGATTCC-3'; β -actin上游引物:5'-TGGCA CCCAGCACAATGAA-3'; β -actin下游引物:5'-CTAAGTTCATAGTCCGCCTAGAAGCA-3'。

上述引物均由广州艾基生物技术有限公司完成。

1.2 方法

1.2.1 人全长DLL3基因的扩增 以人全长DLL3/pOTB7质粒为模板,通过PCR扩增人全长DLL3基因,PCR反应条件为95℃ 5 min;98℃ 10 s,56℃ 50 s,72℃ 2 min,34个循环;72℃ 15 min。PCR产物经1%琼脂糖凝胶电泳鉴定。

1.2.2 人全长DLL3/pCMV-Tag4重组质粒的构建和鉴定 切胶回收PCR产物,将纯化的PCR产物与pMD18-T(9:1)在T₄ DNA连接酶作用下,16℃连接30 min,转化感受态大肠杆菌JM109,在含有X-Gal、IPTG、Amp的LB-琼脂平板培养基上过夜培养,次日挑取白色的单菌落进行培养并提取质粒,将阳性质粒用BamH I和Sal I双酶切回收人全长DLL3基因,并克隆至真核表达载体pCMV-Tag4。重组质粒经BamH I和Sal I双酶切和DNA测序进行鉴定。

1.2.3 人全长DLL3/pCMV-Tag4重组质粒瞬时转染 HEK293T细胞 用DMEM完全培养基(10% FBS)常规培养HEK293T细胞,每2~3 d传代1次。以2.5 \times 10⁶/mL细胞接种到6孔板,待细胞生长到90%,按Lipofectamine™ 2000转染试剂盒说明书进行转染,同时转染空载体pCMV-Tag4作为阴性对照组,无转染质粒的HEK293T细胞作为空白对照组,转染24 h后消化各组细胞,提取细胞总RNA和蛋白质进行mRNA和蛋白水平鉴定。

1.2.4 qRT-PCR检测人DLL3基因在mRNA水平的表达 重组人全长DLL3/pCMV-Tag4质粒转染HEK293T细胞24 h后,消化各组细胞并用PBS清洗3遍离心去除

上清,提取细胞总RNA,测RNA浓度和纯度后按逆转录试剂盒说明完成逆转录。按照qRT-PCR试剂盒说明,以 β -actin作内参进行DLL3 mRNA检测,总反应体系为20 μ L并设置3个复孔,以超纯水为模板做阴性对照,反应程序为95 $^{\circ}$ C 30 s;95 $^{\circ}$ C 10 s,60 $^{\circ}$ C 30 s,40 循环;95 $^{\circ}$ C 15 s,60 $^{\circ}$ C 60 s,95 $^{\circ}$ C 15 s。

1.2.5 Western blot鉴定人全长DLL3在蛋白水平的表达 重组人全长DLL3/pCMV-Tag4质粒转染HEK293T细胞24 h后,消化各组细胞并用PBS清洗3遍离心去除上清收集细胞,用RIPA蛋白裂解液冰上裂解细胞,每5 min涡旋振荡1次,20 min后离心取上清,用Bradford法测定蛋白浓度后加入蛋白上样缓冲液5 \times loading buffer,沸水浴10 min,进行10% SDS-PAGE电泳(18 mA,90 min),蛋白上样量约为10 μ g,电泳结束后200 mA恒流90 min转至PVDF膜,用含5%的脱脂奶粉的TBST(10 mmol/L Tris-HCl,pH7.5,150 mmol/L NaCl,0.08% Tween-20)室温封闭1.5 h,分别加入小鼠抗人DLL3抗体和兔抗人 β -actin抗体室温孵育30 min后4 $^{\circ}$ C过夜,用TBST洗去未结合的抗体,再分别加入HRP标记的羊抗小鼠和羊抗兔IgG二抗,室温孵育1 h;TBST洗去未结合二抗后用EZ-ECL发光试剂检测结果。

1.2.6 DLL3在胃癌细胞系中的表达分析 待胃癌细胞AGS、MGC803和MKN45及正常胃上皮细胞GES-1长到80%~90%时提取各细胞的总RNA,反转录为cDNA后进行qRT-PCR的检测,细胞总RNA制备和qRT-PCR步骤同1.2.4;同时用RIPA细胞裂解液(1:100加入PMSF)裂解细胞提取总蛋白,用小鼠抗人DLL3抗体检测DLL3蛋白的表达,细胞总蛋白制备和Western blot步骤同1.2.5。

1.2.7 过表达人DLL3对胃癌细胞增殖的影响 重组质粒DLL3/pCMV-Tag4和载体质粒pCMV-Tag4分别按照LipofectamineTM 2000转染试剂盒说明转染胃癌细胞AGS、MGC803和MKN45后,消化各组细胞并用PBS清洗3遍去除上清收集细胞,细胞总蛋白制备和Western blot步骤同1.2.5。Western blot检测DLL3可在AGS等3株胃癌细胞中过表达后,向96孔板中汇合度长至60%的AGS、MGC803和MKN45细胞转染重组质粒DLL3/pCMV-Tag4 48 h,去上清,每孔加入200 μ L MTT工作液,于细胞培养箱中孵育2 h,去上清,加入200 μ L DMSO充分溶解沉淀后使用酶标仪(490 nm)检测其吸光度(A)。

1.2.8 下调人DLL3在胃癌细胞中的表达及其对细胞增殖的影响 人DLL3-siRNA和Control siRNA分别按照LipofectamineTM 2000转染试剂盒说明转染胃癌细胞MGC803和MKN45细胞,24 h后消化各组细胞并用PBS清洗3遍去除上清收集细胞,细胞总蛋白制备和Western blot步骤同1.2.5。Western blot检测DLL3在

MKN45和MGC803胃癌细胞中表达下调后,向96孔板中汇合度长至60%的MGC803和MKN45细胞转染DLL3-siRNA和Control siRNA 48 h,去上清,每孔加入200 μ L MTT工作液,于细胞培养箱中孵育2 h,去上清,加入200 μ L DMSO充分溶解沉淀后使用酶标仪(490 nm)检测其吸光度(A)。

1.2.9 统计学分析 每项实验独立重复3次,应用统计学分析软件SPSS 20.0进行统计学处理,实验数据用均数 \pm 标准差表示,对于qRT-PCR结果,多组间差异比较采用单因素方差分析,两两比较采用LSD法, $\alpha=0.05$;对于MTT结果,采用两独立样本 t 检验, $P<0.05$ 认为差异有统计学意义。

2 结果

2.1 全长人DLL3/pCMV-Tag4 重组质粒的构建及鉴定

以人全长DLL3/pOTB7 cDNA为模板,PCR产物经1%琼脂糖凝胶电泳电泳结果显示在1800 bp左右可见特异性目的条带(图1A),与预期结果一致。用BamH I和Sal I双酶切获得人全长DLL3基因并克隆至pCMV-Tag4,重组质粒经BamH I和Sal I进行双酶切鉴定,获得4300 bp和1800 bp的两条片段(图1B),大小与预期相符,将酶切正确的阳性进一步进行DNA测序,测序结果经NCBI BLAST比对,显示读码框正确,将该阳性克隆命名为DLL3/pCMV-Tag4。

2.2 qRT-PCR及Western blotting检测DLL3在mRNA和蛋白水平上的表达

将人全长DLL3/pCMV-Tag4重组质粒和空载体pCMV-Tag4分别转染HEK293T细胞,无转染质粒HEK293T细胞作为空白对照。24 h后提取细胞总RNA,反转录成cDNA后进行qRT-PCR检测。结果显示,相对于对照组,人全长DLL3/pCMV-Tag4重组质粒转染HEK293T细胞24 h后,人DLL3的mRNA的表达水平明显升高(图2A)。人全长DLL3/pCMV-Tag4重组质粒转染HEK293T细胞24 h后,提取细胞总蛋白,利用小鼠抗人DLL3抗体检测目的蛋白的表达,结果显示在约78 000处有一条特异性目的条带的表达,而对照组则未检测到目的条带(图2B),说明DLL3/pCMV-Tag4重组质粒在HEK293T细胞中表达。

2.3 人DLL3在正常胃上皮细胞GES-1和胃癌细胞中的表达分析

待胃癌细胞AGS、MGC803和MKN45及正常胃上皮细胞GES-1细胞长到80%~90%提取各细胞的总RNA,反转录为cDNA后进行qRT-PCR的检测,同时用RIPA蛋白强裂解细胞提取总蛋白,用小鼠抗人DLL3抗体检测人全长DLL3蛋白的表达。结果显示:相对于GES-1,人DLL3 mRNA在AGS等3株胃癌细胞中表达水平显著升高(图3A);进一步的Western blot表明:人

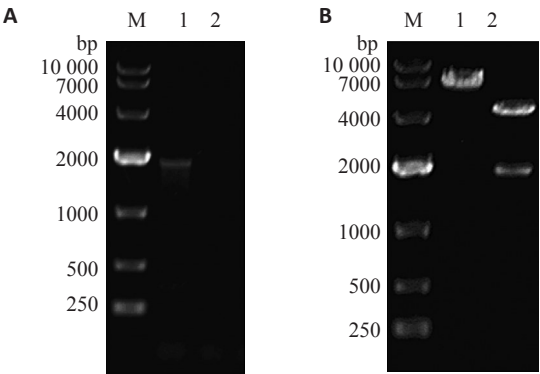


图1 全长人DLL3/pCMV-Tag4 重组质粒的构建及鉴定
Fig.1 Construction and identification of the recombinant plasmid DLL3/pCMV-Tag4. A: PCR amplification of full-length human DLL3 gene. M: DL 10 000 DNA marker; 1: Human DLL3 gene; 2: Negative control. B: Restriction enzyme digestion of recombinant eukaryotic plasmid DLL3/pCMV-Tag4. M: DL 10 000 DNA marker; 1: DLL3/pCMV-Tag4 plasmid; 2: DLL3/pCMV-Tag4 plasmid digested by *Bam*HI and *Sal*I.

DLL3在3株胃癌细胞中的表达量均高于GES-1(图3B),与qRT-PCR结果相符。

2.4 人DLL3在胃癌细胞系的过表达及其对细胞增殖的影响

在3株胃癌细胞进行DLL3的过表达,通过Western blot检测DLL3蛋白的表达,结果显示:转染DLL3/pCMV-Tag4后,在大约68 000和78 000处有两条特异性目的条带,而转染空载体对照组只有1条68 000的目标条带,说明DLL3在胃癌细胞过表达成功(图4A),之后我们进行了MTT实验以检测DLL3蛋白的过表达对细胞增殖的影响,结果显示,DLL3的过表达促进了胃癌细胞的增殖(图4B)。

2.5 下调人DLL3在胃癌细胞中的表达及其对细胞增殖的影响

在胃癌细胞MGC803和MKN45中转染特异性人DLL3-siRNA下调DLL3的表达,通过Western blot检

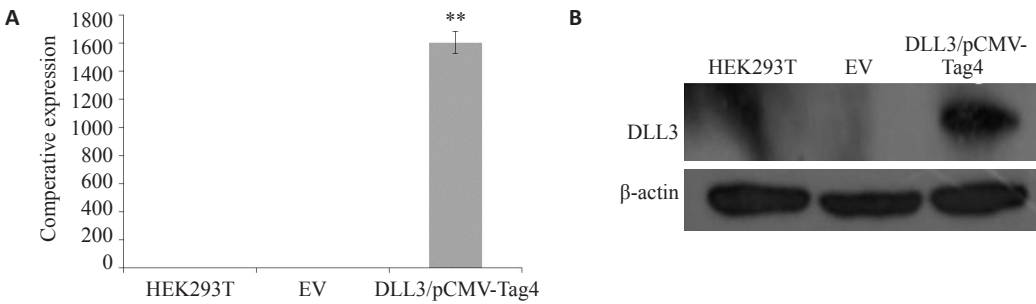


图2 人DLL3在HEK293T细胞中表达
Fig.2 Expression of DLL3 in HEK293T cells. A: Analysis of expression of human DLL3 mRNA by qRT-PCR (** $P<0.01$ vs HEK293T cells); B: Analysis of expression of full-length human DLL3 protein by Western blotting.

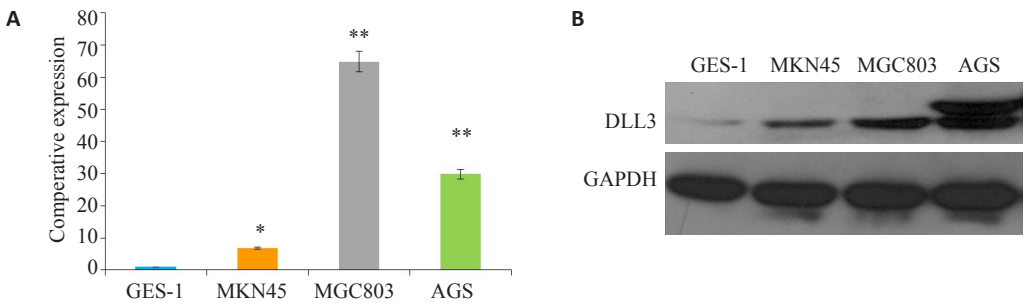


图3 人DLL3基因在正常胃上皮细胞GES-1和胃癌的表达分析
Fig.3 Expression of human DLL3 gene in normal gastric epithelial cells GES-1 and 3 gastric cancer cell lines. A: Analysis of relative expression of human DLL3 mRNA by qRT-PCR (* $P<0.05$, ** $P<0.01$ vs GES-1 cells); B: Analysis of expression of human full-length DLL3 protein by Western blotting.

测DLL3蛋白的表达,结果显示:转染24 h后,同control siRNA组相比,DLL3-siRNA转染组中DLL3表达明显减少,表明采用特异性人DLL3-siRNA在上

述胃癌细胞中成功下调DLL3表达(图5A),进一步的MTT结果显示:下调DLL3抑制了上述胃癌细胞的增殖(图5B)。

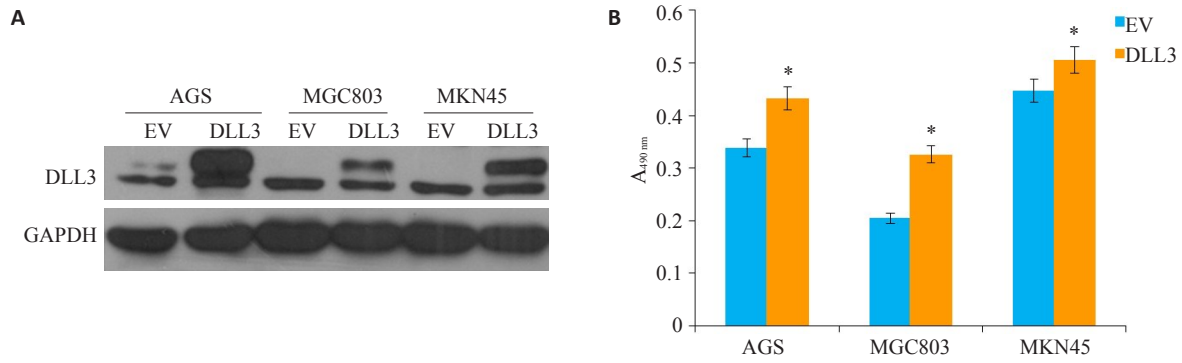


图4 过表达人全长DLL3蛋白对胃癌细胞增殖的影响

Fig.4 Effect of over-expression of DLL3 on gastric cancer cell proliferation. **A**: Analysis of over-expression of human full-length DLL3 protein in gastric cancer cells by Western blotting; **B**: Proliferation of gastric cancer cells after over-expression of human full-length DLL3 protein (* $P < 0.05$ vs EV group). EV: Gastric cancer cells transfected by pCMV-Tag4 vector; DLL3: Gastric cancer cells transfected by DLL3/pCMV-Tag4.

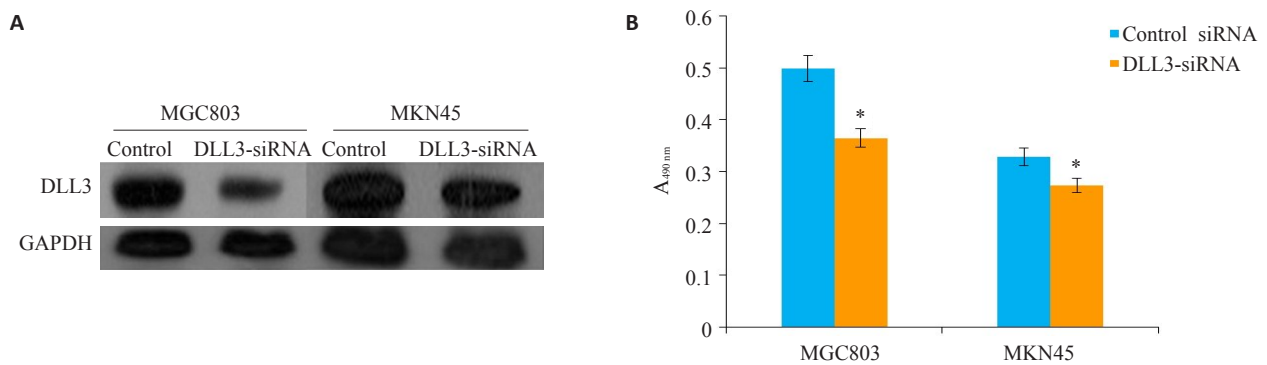


图5 下调人DLL3基因的表达对胃癌细胞MGC803和MKN45增殖的影响

Fig.5 Effect of down-regulation of DLL3 on proliferation of MGC803 and MKN45 cells. **A**: Analysis of the expression of full-length DLL3 protein in MGC803 and MKN45 cells after transfection with specific human DLL3-siRNA by Western blotting; **B**: Proliferation of gastric cancer cells after DLL3-siRNA transfection (* $P < 0.05$ vs control siRNA group).

3 讨论

人DLL3配体是由619个氨基酸组成的单次跨膜蛋白,其完整结构包含1个DSL结构域、1个胞内结构域和6个表皮生长因子样结构域。已有研究表明: DLL3可能抑制Notch受体介导的信号通路,这同DLL1和DLL4显著不同。例如DLL3不与相邻细胞表达的Notch受体结合或者激活Notch受体^[21],反之当DLL3与其他Notch信号通路成员在细胞表面共表达时会抑制其他配体激活Notch信号通路^[22]。在原发性肝细胞癌中,检测到DLL3基因发生甲基化沉默,当在这些癌细胞系中加入去甲基化药物或者导入外源性DLL3基因,则诱导癌细胞的凋亡^[23],在晚期神经内分泌瘤大鼠模型中,一种DLL3靶向抗体药物(SC16LD6.5)能够清除大鼠体内的肿瘤起始细胞^[16],最新研究发现,DLL3在超过80%的小细胞肺癌患者中均有高表达, I 期临床研究表明: 使用Rova-T(抗DLL3蛋白抗体偶联细胞毒素Tesirine)治疗小细胞肺癌表现出良好的抗肿瘤活性^[24]。因此,作为一个有潜在临床诊断和治疗价值的靶点,对

DLL3在胃癌中的作用及其分子机制的深入研究具有重要价值。

在本研究中,我们首先通过酶切和测序分析表明成功构建了人全长DLL3/pCMV-Tag4重组质粒,当转染HEK293T细胞后发现: 相对于转染空载体组,人全长DLL3/pCMV-Tag4重组质粒转染HEK293T细胞后, DLL3的mRNA水平显著提高($P < 0.05$),进一步的Western blot结果显示在大约78 000处有DLL3-Flag融合蛋白特异性条带,表明人DLL3在293T细胞后获得表达。HEK293T细胞是人源化的细胞系,可对表达的目的蛋白进行翻译后修饰,有利于获得具有天然构象的重组蛋白,而pCMV-Tag4中有Flag表达标签,便于后续亲和纯化。

前期我们通过分析TCGA数据库和UCSC数据库提示人DLL3可能与胃癌的发生发展密切相关。为此,我们通过qRT-PCR和Western blot检测了DLL3在正常人胃上皮细胞GES-1和人胃癌细胞中的表达差异。结果显示,相对于GES-1,DLL3在AGS等3株胃癌细胞中

表达升高($P<0.05$),其中DLL3在AGS中表达量最高,在MKN45中表达最低。为了进一步探究DLL3在胃癌中的作用,我们在AGS等3株胃癌细胞中进行DLL3的过表达,Western blot结果显示:人全长DLL3/pCMV-Tag4重组质粒转染上述3株胃癌细胞后,在约68 000和78 000处有两条特异性目的条带,而转染pCMV-Tag4空载体对照组只在68 000有一目标条带,表明在AGS等3株胃癌细胞不仅检测到有表达内源性的人DLL3,而且,转染DLL3/pCMV-Tag4后获得外源性DLL3的表达。MTT实验结果表明:当人DLL3在AGS等3株胃癌细胞中过表达后均可以促进胃癌细胞的增殖($P<0.05$)。为了进一步验证这个结果,我们选择MKN45和MGC803细胞系,采用特异性人DLL3-siRNA下调上述胃癌细胞中DLL3的表达,Western blot结果表明特异性人DLL3-siRNA转染胃癌细胞后下调胃癌细胞中DLL3蛋白的表达,同时MTT结果显示:下调DLL3蛋白的表达均可抑制胃癌细胞的增殖($P<0.05$)。

综上,本研究成功在HEK293T细胞中获得人DLL3的表达,过表达DLL3则促进胃癌细胞的增殖,表明人DLL3介导的Notch信号通路可能在人胃癌发生发展中扮演重要作用。

参考文献:

- [1] Chillakuri CR, Sheppard D, Lea SM, et al. Notch receptor-ligand binding and activation: insights from molecular studies[J]. *Semin Cell Dev Biol*, 2012, 23(4): 421-8.
- [2] Backer RA, Helbig C, Gentek R, et al. A central role for Notch in effector CD8(+) T cell differentiation[J]. *Nat Immunol*, 2014, 15(12): 1143-51.
- [3] Andersson ER, Lendahl U. Therapeutic modulation of Notch signalling--are we there yet [J]? *Nat Rev Drug Discov*, 2014, 13(5): 357-78.
- [4] Brzozowa-Zasada M, Piecuch A, Dittfeld A, et al. Notch signalling pathway as an oncogenic factor involved in cancer development[J]. *Contemp Oncol (Pozn)*, 2016, 20(4): 267-72.
- [5] Lim JS, Ibaseta A, Fischer MM, et al. Intratumoural heterogeneity generated by Notch signalling promotes small-cell lung cancer[J]. *Nature*, 2017, 545(7654): 360-4.
- [6] Shen Q, Cohen B, Zheng WY, et al. Notch shapes the innate immunophenotype in breast cancer[J]. *Cancer Discov*, 2017, 7(11): 1320-35.
- [7] Yuan X, Wu H, Xu H, et al. Notch signaling: an emerging therapeutic target for cancer treatment[J]. *Cancer Lett*, 2015, 369(1): 20-7.
- [8] Alketbi A, Attoub S. Notch signaling in cancer: rationale and strategies for targeting[J]. *Curr Cancer Drug Targets*, 2015, 15(5): 364-74.
- [9] Stoeck A, Lejnine S, Truong A, et al. Discovery of biomarkers predictive of GSI response in triple-negative breast cancer and adenoid cystic carcinoma[J]. *Cancer Discov*, 2014, 4(10): 1154-67.
- [10] Smith JP, Nadella S, Osborne N. Gastrin and gastric cancer[J]. *Cell Mol Gastroenterol Hepatol*, 2017, 4(1): 75-83.
- [11] Du X, Cheng Z, Wang YH, et al. Role of notch signaling pathway in gastric cancer: a meta-analysis of the literature [J]. *World J Gastroenterol*, 2014, 20(27): 9191-9.
- [12] Miao ZF, Xu H, Xu HM, et al. DLL4 overexpression increases gastric cancer stem/progenitor cell self-renewal ability and correlates with poor clinical outcome via Notch-1 signaling pathway activation[J]. *Cancer Med*, 2017, 6(1): 245-57.
- [13] Sun HW, Wu C, Tan HY, et al. Combination DLL4 with jagged1-siRNA can enhance inhibition of the proliferation and invasiveness activity of human gastric carcinoma by Notch1/VEGF pathway[J]. *Hepatogastroenterology*, 2012, 59(115): 924-9.
- [14] Rossi A. Rovalpituzumab tesirine and DLL3: a new challenge for small-cell lung cancer[J]. *Lancet Oncol*, 2017, 18(1): 3-5.
- [15] Yan S, Ma D, Ji M, et al. Expression profile of Notch-related genes in multidrug resistant K562/A02 cells compared with parental K562 cells[J]. *Int J Lab Hematol*, 2010, 32(2): 150-8.
- [16] Saunders LR, Bankovich AJ, Anderson WC, et al. A DLL3-targeted antibody-drug conjugate eradicates high-grade pulmonary neuroendocrine tumor-initiating cells *in vivo* [J]. *Sci Transl Med*, 2015, 7(32): 302ra136.
- [17] Liu Z, Wu T, Li Q, et al. Notch signaling components[J]. *Medicine*, 2016, 95(20): e3715.
- [18] 栗芃芃, 叶健斌, 邱晓媚, 等. 人DLL1真核表达质粒的构建及过表达DLL1抑制人口腔鳞癌细胞SCC15的增殖[J]. *暨南大学学报: 自然科学与医学版*, 2017, 38(3): 185-91.
- [19] 叶健斌, 梁来妹, 陈中标, 等. 人Notch配体DLL4基因的克隆及真核表达[J]. *生物技术*, 2015, 25(3): 223-6.
- [20] 叶健斌, 陈中标, 梁来妹, 等. 人Notch信号通路中Jagged1基因的克隆与真核表达[J]. *生物技术*, 2015, 25(5): 437-41.
- [21] Chapman G, Sparrow DB, Kremmer E, et al. Notch inhibition by the ligand DELTA-LIKE 3 defines the mechanism of abnormal vertebral segmentation in spondylocostal dysostosis [J]. *Hum Mol Genet*, 2011, 20(5): 905-16.
- [22] Ladi E, Nichols JT, Ge W, et al. The divergent DSL ligand Dll3 does not activate Notch signaling but cell autonomously attenuates signaling induced by other DSL ligands[J]. *J Cell Biol*, 2005, 170(6): 983-92.
- [23] Maemura K, Yoshikawa H, Yokoyama KA, et al. Delta-like 3 is silenced by methylation and induces apoptosis in human hepatocellular carcinoma[J]. *Int J Oncol*, 2013, 42(3): 817-22.
- [24] Rudin CM, Pietanza MC, Bauer TM, et al. Rovalpituzumab tesirine, a DLL3-targeted antibody-drug conjugate, in recurrent small-cell lung cancer: a first-in-human, first-in-class, open-label, phase 1 study[J]. *Lancet Oncol*, 2017, 18(1): 42-51.